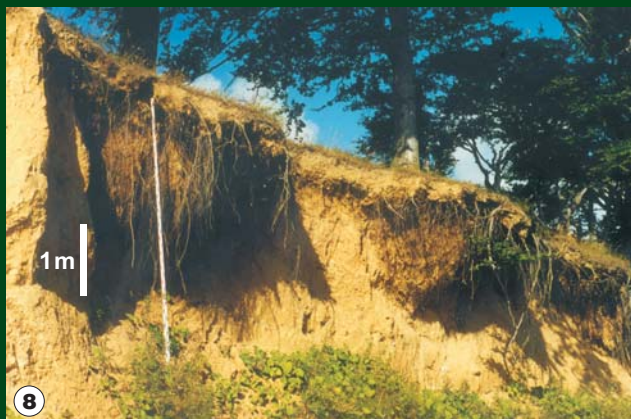


Procesy aktywizujące degradację wybrzeża klifowego Zalewu Puckiego (patrz str. 55)



Ryc. 8. Nisze i nawisy poobrywowe, klif pucki, 113,80 km
Fig. 8. Niches and sode cornices after earth fall, Puck cliff, 113.80 km



Ryc. 9. Zsuw zboczowy, klif pucki, 111,85 km
Fig. 9. Earth slip on the slope, Puck cliff, 111.85 km

Ryc. 12. Zbocze klifu puckiego, 113,76 km. Nagromadzenie materiału koluwialnego
Fig. 12. Slope of the Puck cliff, 113,76 km. Accumulation of the colluvial material



Ryc. 13. Platforma abrazyjna z podciosem abrazyjnym w stopie zbocza klifu, klif gnieźdzewsko-swarzewski, 118,31 km. Wszystkie fot. — L. Zaleszkiewicz
Fig. 13. Abrasion platform with abrasion kerf at the foot of the cliff slope, Gnieźdzewo-Swarzewo cliff, 118.31 km. All photos — L. Zaleszkiewicz

